

Corrosolin 및 Compound-2 : *Annona cherimolia* 씨앗으로부터 분리된 세포독성 Annonaceous acetogenin

김달환 · 우미희[#]

대구효성가톨릭대학교 약학대학

(Received July 7, 1999)

Corrosolin and Compound-2: Cytotoxic Annonaceous Acetogenins from the Seeds of *Annona cherimolia*

Dal-Hwan Kim and Mi-Hee Woo[#]

College of Pharmacy, Catholic University of Taegu-Hyosung, Kyongsan 712-702, Korea

Abstract — Bioactivity-directed fractionation from the seeds of *Annona cherimolia* resulted in the isolation of two known cytotoxic compounds : corrosolin (**1**) and compound-2 (**2**). The structures of these compounds were characterized on the basis of chemical and spectral data. Corrosolin has a relative stereochemical relationship of *threo/trans/threo* for the mono-tetrahydrofuran (THF) ring with two flanking hydroxyls, from C-15 to C-20, which is the annonacin type. Compound-2 has a relative stereochemical relationship of *threo/trans/threo/trans/threo* for the adjacent bis-THF ring with two flanking hydroxyls, such as in the asimicin type. The absolute configurations of carbinol carbons in corrosolin were determined as 10R, 15R, and 20R by analysis of its Mosher ester derivatives. Corrosolin and compound-2 are known, but are first isolated in this plant.

Keywords □ Annonaceous acetogenin; *Annona cherimolia*; corrosolin; compound-2; cytotoxicity.

Annonaceous acetogenin은 mitochondria에서 electron transport를 저해함으로써 항암, 살충, 구충, 면역 억제, 항균작용 등의 다양한 생리활성을 나타낸다.^{1,2)} Annonaceous acetogenin은 Annonaceae의 *Annona*, *Asimina*, *Goniothalamus*, *Rollinia*, *Uvaria* 및 *Xylopia* 속으로부터 분리 보고되고 있다.

*Annona cherimolia*는 Peru가 원산³⁾인 열대식물로서, 현재 스페인 남부의 아열대 지역 즉, Sierra Nevada 산맥과 Granada 주 안에 있는 지중해 연안 사이의 온화한 기후($10\sim 28^{\circ}\text{C}$)를 가진 "cherimoya-vale"에서 이 식물의 과일인 "cherimoya"는 재배되고 있다. 옛 날부터 뜻과일은 지사제로서, 잎은 진정제와 항불안약으로서, 씨앗은 살충제와 구충제 등 다양한 치료제로

서 사용되었다.^{4,5)} *Annona cherimolia*의 식물학적 연구로는 씨앗과 잎으로부터 현저한 항균 및 세포독성 활성을 갖는 aporphine alkaloid인 liriodenine과,⁶⁾ flavonoid 등을 분리함으로써 이 식물은 의약으로의 가치가 인정되었다. 1984년 Cortes 등⁷⁾은 이 식물의 씨앗으로부터 새로운 acetogenin인 dihydrocherimolin, cherimolin-1을 분리하였으며, 그 이후 많은 연구자들에 의하여 이 식물의 씨앗과 뿌리로부터 새로운 acetogenin인 laheirradurin,⁶⁾ otivarin,⁸⁾ itrabin, jetein,⁹⁾ molvizarin, motrilin,¹⁰⁾ cherimolin-2, almunequin,¹¹⁾ isocherimolin-1, isomolvizarin-1, isomolvizarin-2,¹²⁾ annogalene, annonesenegaline,¹³⁾ annocherin, (2,4)-*cis*-annocherinone과 (2,4)-*trans*-annocherinone¹⁴⁾ 을 분리 보고하였다.

Annona cherimolia 씨앗의 의약자원으로서 연구를 위한 기초로 활용하고자 화학성분 규명 및 생리활성

* 본 논문에 관한 문의는 이 저자에게로

(전화) 053-850-3620 (팩스) 053-850-3602

실험에 착수하여 계통적 분획과정을 거친 methanol 중으로부터 acetogenin 화합물 **1**과 **2**를 분리하여 그 구조를 동정하였다. 화합물 **1**에 존재하는 3개의 carbinol center에 대한 absolute stereochemistry는 아직 밝혀지지 않았으므로 Mosher ester¹⁵⁻¹⁷방법으로 이를 확인하였다. 또한 화합물의 생리활성 중 세포독성을 알아보기 위해 brine shrimp lethality test (BST)^{18,19}를 실시하였다.

실험방법

실험재료 – 본 실험에 사용한 *Annona cherimolia*의 씨앗은 Hurov Botanicals and Seeds(Chula Vista, CA, U.S.A.)로부터 구입하여 음건·세척하여 사용하였다.

시약 및 기기 – 실험에 사용한 column chromatography⁸, silica gel은 Kieselgel 60(Merck Art. 7734, 9385, 7729)을, thin layer chromatography(TLC)

plate는 precoated Kieselgel 60 F₂₅₄(Merck Art. 5715)를 사용하였다. High performance liquid chromatography(HPLC)용 column은 μBondapak C₁₈ (Waters, Milford, MA, U.S.A.)으로서 analytical용(3.9×150 mm)과 semi-preparative용(19×300 mm)을 사용하였다. 용매는 HPLC용, 특급 및 1급 시약을 사용하였다. Melting point는 Yanaco micro melting point apparatus(Fushimi-ku, Kyoto, Japan)를 사용하여 측정하였으며 온도보정은 하지 않았다. 선광도는 JASCO DIP-370 digital polarimeter(Hachioji, Tokyo, Japan)로 측정하였다. UV spectrophotometer는 Shimadzu UV-1601PC(Chiyoda-ku, Tokyo, Japan)를, FT-IR spectrometer는 JASCO FT/IR-300E(Hachioji, Tokyo, Japan)를, NMR은 Varian VXR 500S spectrophotometer(Palo Alto, CA, U.S.A.), mass spectrometry는 Quattro II spectrometer(Micromass, Cheshire, U.K.)로 측정하였으며, HPLC의 pump는 Waters 600E(Milford, MA, U.S.A.), detector는 Waters 486

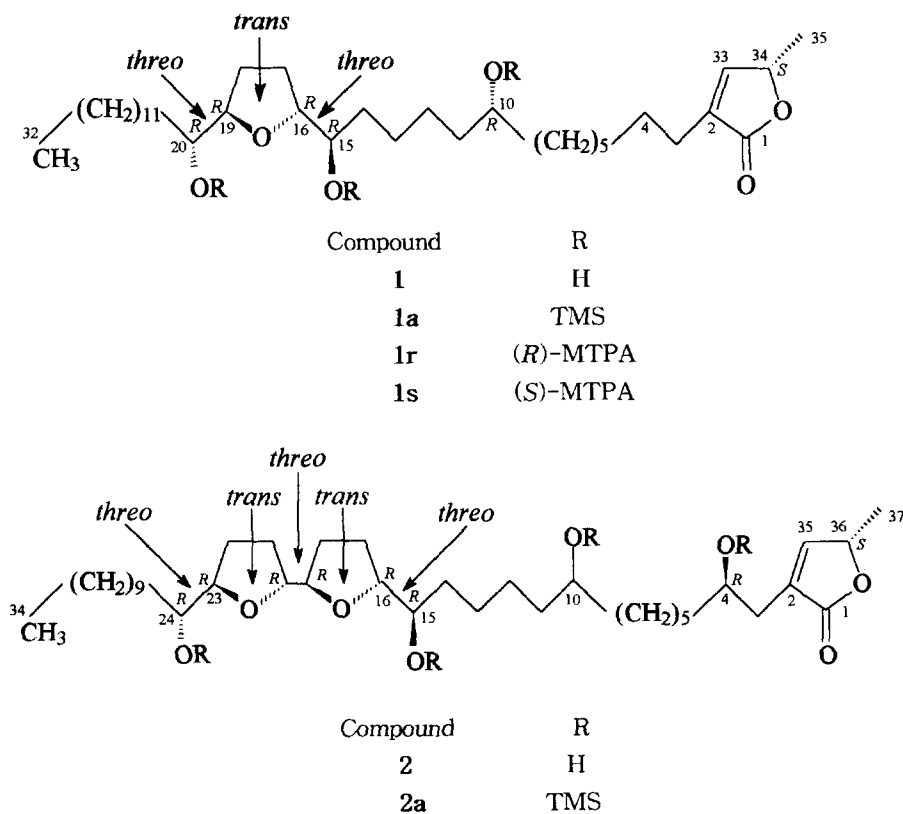


Fig. 1 – Structures of compound **1** (corrosolin), **2** (compound-2) and their derivatives.

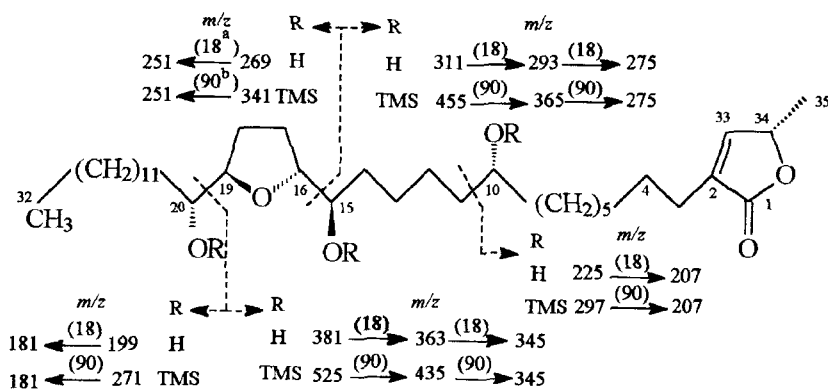


Fig. 2 – Diagnostic EIMS fragmentations of **1** (corrosolin) and its tri-TMS (**1a**) derivative. ^a: H_2O , ^b: TMSOH.

그리고 integrator는 영수 Autochro-win computer program(Seoul, Korea)을 사용하였다.

생리 활성의 측정 – 물 1L 에 38 g의 소금을 녹여서 해수를 조제한다. 뚜껑이 2/3 덮힌 새우를 부화시키는 작은 통에 해수를 넣고 뚜껑이 있는 쪽에 새우알을 넣어 뚜껑을 닫고 램프 아래서 새우가 부화되도록 2^o일간 둔다. 각 sample을 methylene chloride(불용시에는 약간의 methanol을 가한다.)에 녹여 5, 0.5, 0.05, 0.005 ppm을 함유하도록 각 농도당 3개씩의 sample을 조제한다. 조제한 sample을 완전히 휘발시킨다. 각 vial의 sample에 dimethyl sulfoxide(DMSO) 1㎕을 가하여 녹이고 해수를 5 mL씩 넣는다. 각 vial당 새우 10 마리씩 넣는다. 24시간 후 살아있는 새우를 세어서, LD₅₀를 Finney computer program으로 계산하여 측정한다.

추출 및 분리 – *Annona cherimolia*의 씨앗(8 kg)을 실온에서 95% ethanol로 4회 추출하여, 감압건조시켜 얻은 ethanol extract(F001, 700 g)를 물과 dichloromethane 혼액으로 분획하여 물에 가용성인 분획(F002, 300 g)과 dichloromethane에 가용성인 분획(F003, 400 g) 및 불용성인 경계면(F004)으로 나누고, F003을 hexane과 90% methanol성 수용액으로 계속 분획하여 methanol 분획(F005, 250 g)과 hexane 가용성인 분획(F006, 150 g)으로 나누었다. F005 250 g 을 hexane-chloroform(gradient)과 chloroform-methanol(gradient) 용액으로 silica gel column chromatography를 실시하여 F₁에서 F₁₈로 나누고 그 중에서 F₁₂ 130 g을 chloroform-methanol(gradient) 용액으로 silica gel column chromatography를 3회 실시한 후

아래의 조건으로 HPLC를 행하여 화합물 **1**과 **2**를 얻었다. HPLC 용 column은 μBondapak C₁₈(19 × 300 mm, 3.9 × 150 mm)을, 검출기는 UV detector(225 nm)를 사용하였다. 이동상으로 acetonitrile-water

Table I – ¹H-NMR spectral data* of **1** (corrosolin) and **2** (compound-2)

Position	¹ H-NMR (500 MHz)	
	1 (corrosolin)	2 (compound-2)
1	-	-
2	-	-
3a	1.1-1.6 m	2.53 ddt (15.1, 4.0, 1.4)
3b	1.1-1.6 m	2.40 ddt (15.1, 8.0, 1.4)
4	1.1-1.6 m	3.92 m
5-9	1.1-1.6 m	1.1-1.6 m
10	3.60 m	3.58 m
11-14	1.1-1.6 m	1.1-1.6 m
15	3.40 m	3.42 m
16	3.80 m	3.75 m
17a	1.65 m	1.68 m
17b	1.99 m	1.98 m
18a	1.65 m	1.68 m
18b	1.99 m	1.98 m
19	3.80 m	3.85 m
20	3.40 m	3.85 m
21a	1.1-1.6 m	1.68 m
21b	1.1-1.6 m	1.98 m
22a	1.1-1.6 m	1.68 m
22b	1.1-1.6 m	1.98 m
23	1.1-1.6 m	3.75 m
24	1.1-1.6 m	3.42 m
25-31	1.1-1.6 m	1.1-1.6 m
32	0.88 t (6.7)	1.1-1.6 m
33	6.99 q (1.5)	1.1-1.6 m
34	5.00 qq (6.4, 1.4)	0.88 t (6.5)
35	1.41 d (6.9)	6.98 q (1.8)
36		4.99 qq (6.4, 1.4)
37		1.43 d (7.5)

* Data are δ (ppm), multiplicity and J (in parentheses) in Hz from internal TMS in CDCl_3 .

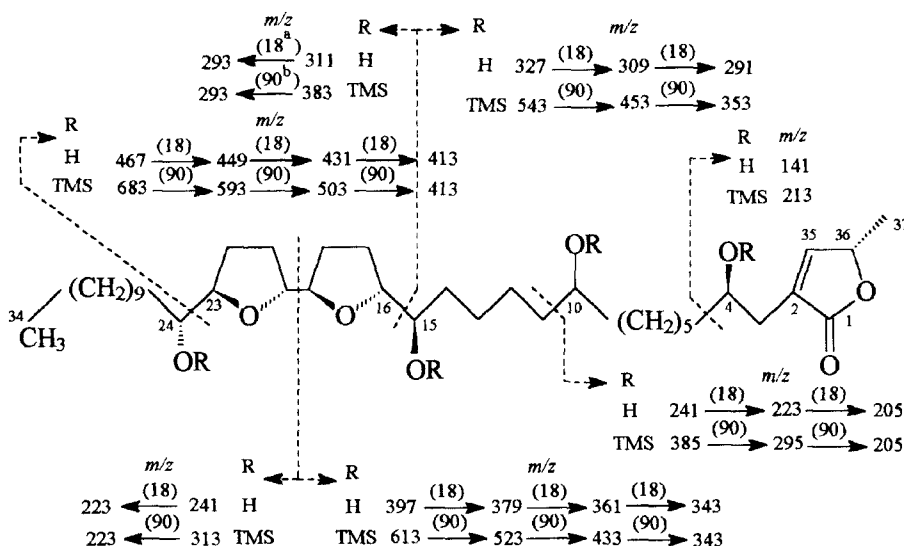


Fig. 3 – Diganostic EIMS fragmentations of **2** (compound-**2**) and its tetra-TMS (**2a**) derivative. ^a: H₂O, ^b: TMSOH.

(85%)를 사용하여, 유속은 μ Bondapak C₁₈(19×300 mm)일 경우 10 ml/min., μ Bondapak C₁₈(3.9×150 mm)일 경우는 1 ml/min.으로 실시하였다.

화합물 1 – mp 50.0~51.1^o, $[\alpha]_D^{20} = +19.0^o(c, 0.2$
in methanol), UV_{max}^{λEtOH} nm (log, δ): 212.00(4.1),
IR ν_{max}^{KBr} cm⁻¹: 3420(OH), 1740(C=O of α, β-unsat-
urated γ-lactone), MS(EI) m/z : Fig. 2, ¹H-NMR
(500 MHz, CDCl₃) δ : Table I.

화합물 2 - mp 95.0~96.0^oC, $[\alpha]_D^{20} = +16.0^o(c, 0.07\%,$
in CHCl₃), UV_{max}^{EtOH} nm (log δ) : 216.30(4.0),
IR ν_{max}^{KBr} cm⁻¹ : 3414(OH), 1752(C=O of α, β-
unsaturated γ-lactone), MS(FAB) *m/z* : Fig. 3, ¹H-NMR(500MHz, CDCl₃) δ : Table I.

화합물 1과 2의 TMS 유도체²⁰⁾ – 화합물 1과 2를 각각의 vial에 10 μg씩 넣고 vacuum dessicator에서

24시간 건조시킨다. 건조시킨 sample에 pyridine 0.2 μ L와 N,O-bis-(trimethylsilyl)-acetamide(BSA) 2 μ L를 가하고 실온에서 5시간 정도 방치하여 화합물 **1a**와 **2a**를 얻었다.

화합물 1a - EIMS (m/z) : Fig. 2.

화합물 2a - EIMS (m/z) : Fig. 3.

화합물 1과 2의 *S*-와 *R*-MTPA-esters¹⁵⁻¹⁷⁾ – 화합물 1과 2를 각각의 vial에 1 mg씩 넣고 CH₂Cl₂ 0.5 mL에 녹인 후, 순차적으로 pyridine 0.2 mL, 4-(dimethylamino)-pyridine 0.5 mg, (*R*)-(–)- α -methoxy- α -(trifluoromethyl)-phenylacetyl(MTPA) chloride 12 mg을 가한다. 혼합물을 실온에서 12시간 방치한 후 micro-column(0.6 × 6 cm)에 silica gel(230~400 mesh)로 충전한 후 hexane-CH₂Cl₂(1:2) 3~4 mL로 용출한다. 그 용출액을 휘발시킨 후 CH₂Cl₂, 5 mL를 가하고,

Table II – Chemical shift data of relevant protons of the per-(*S*)- and -(*R*)-MTPA ester derivatives of corosolin (**1r** and **1s**)

MTPA configuration	Proton chemical shifts (δ_H)										
	C-10						mono-THF moiety				
	H-3	H-4	H-10	H-14	H-15	H-16	H-17a H-17b	H-18a H-18b	H-19	H-20	H-21
<i>S</i>	2.28	1.55	4.98	1.58	4.98	3.93	1.61 1.38	1.61 1.38	3.93	4.94	1.50
<i>R</i>	2.27	1.52	4.99	1.49	4.99	4.02	1.91 1.57	1.91 1.57	4.02	4.99	1.49
$\Delta\delta_H$ ($\delta_S - \delta_R$)	+0.01	+0.03	<i>R</i> ^a	+0.07	<i>R</i> ^a	-0.09	-0.30 -0.19	-0.30 -0.19	-0.09	<i>R</i> ^a	+0.10

^a Absolute configuration.

1% NaHCO₃(5 ml×3)와 H₂O(5 ml×2)로 세척한 후 얻은 CH₂Cl₂ 층을 휘발시켜 S Mosher ester(**1s**)를 얻었다. 위의 조작에서 (*R*)-(-)- α -methoxy- α -(trifluoromethyl)-phenylacetyl(MTPA) chloride 대신에 (*S*)-(+)- α -methoxyl- α -(trifluoromethyl)-phenylacetyl chloride를 사용하여 (*R*)-Mosher ester(**1r**)를 얻었다.

화합물 1r과 1s - ¹H-NMR(500MHz, CDCl₃) δ:

Table II.

결과 및 고찰

화합물 **1**과 **2**는 백색의 무정형결정으로 얻었다. IR spectrum에서 3420 cm⁻¹에서 OH기와 1740 cm⁻¹에서 α , β -unsaturated γ -lactone의 carbonyl기를 확인하였다. 화합물 **1**의 fast atom bombardment mass spectrometry(FABMS)에서 *m/z* 581에서 [M+H]⁺ peak를, 화합물 **1a**의 electron impact mass spectroscopy(EIMS)에서 *m/z* 796에서 molecular ion peak를 확인하였다(Fig. 2). 화합물 **1a**는 EIMS에서 3개의 TMSOH 분자가 순차적으로 빠지는 것으로 이 화합물은 3개의 OH기를 가지는 것을 확인하였다(*m/z* 796, 706, 616, 526). 화합물 **1**의 ¹H-NMR spectrum에서 δ1.41(H-35), δ5.00(H-34), δ6.99(H-33)으로 α , β -unsaturated γ -lactone을 가지는 것을 알 수 있다.^{8,21,22)} 화합물 **1**의 ¹H-NMR spectrum에서 δ3.60에서 하나의 multiple한 proton은 alkyl chain안에 있는 hydroxyl group의 특징적인 peak이다.²²⁾ 화합물 **1a**의 EIMS에서 *m/z* 297의 peak로부터 C-10번에 OH기가 결합된 것을 확인할 수 있었다(Fig. 2). 그리고, 화합물 **1a**의 EIMS로부터 나머지 OH기와 tetrahydrofuran(THF) 환의 위치를 확인한 결과 OH기는 C-15, C-20에 위치하고, THF환은 C-16과 C-20 사이에 위치하였다. C-15/C-16과 C-19/C-20의 relative stereochemistry는 ¹H-NMR spectrum에서 δ3.40에서 2개의 proton peak를 확인함으로써 C-15/C-16과 C-19/C-20의 stereochemistry는 *threo* 구조임을 확인하였다.²³⁾ THF환의 relative stereochemistry는 화합물 **1**의 ¹H-NMR spectrum에서 δ1.99(H-17b/H-18b)와 δ1.65(H-17a/H-18a)에서의 대칭적인 peak를 확인함으로써 *trans* form임을 확인하였다.^{24,25)} 이상의 결과와 문헌과의 비교에서 화합물 **1**은 mono-THF환과 3개의 OH기를 가진 corrosolin²⁶⁾임을 확인·동정하였다.

Corrosolin은 *Annona muricata*에서만 분리·보고되었으며 현재까지 carbinol carbon의 absolute configuration은 결정되어 있지 않았다. 그래서, 화합물 **1**의 C-10, C-15와 C-20의 absolute stereochemistry를 확인하기 위하여, tri-(*R*)-과 -(*S*)-methoxytrifluoromethylphenyl acetic acid(MTPA) ester 유도체(**1r**과 **1s**)를 합성하여 **1r**과 **1s**의 ¹H-NMR spectra를 비교·분석하는 Mosher ester methodology¹⁵⁻¹⁷⁾를 사용하였다. δ_S-δ_R값은 chain 부위에는 +값을, mono-THF환 쪽에는 -값을 나타내므로 C-15와 C-20의 absolute configuration은 *R*임을 알 수 있다(Table II). C-10의 OH기는 aliphatic chain의 중간에 위치하므로, 인접한 methylene proton(H-9 와 H-11)의 chemical shift는 현재의 NMR 기술을 이용해서는 구별할 수 없다. 또한, **1r**과 **1s**의 correlated spectroscopy(COSY) spectra에서 H-9와 H-11의 methylene proton의 chemical shift 차가 변화하는 크기의 직접적인 관찰은 자기자신의 correlation signal과 H-14의 correlation signal의 중첩 때문에 불가능하다. 또한, H-14와 H-15에 대한 Mosher 잔기의 반자성 효과는 C-10의 경우가 C-15와 C-20보다 훨씬 약하다. 그러므로, 사용될 수 있는 유일한 signal은 lactone 환 부위에 있는 proton들의 signal로서, 동정할 수 있는 가장 가까운 공명은 H-4와 H-3이며 C-10으로부터 각각 6개와 7개의 결합으로 떨어져 있다. 모델 화합물인 6-undecanol과 8-pentadecanol의 (*R*)-MTPA ester의 두 개의 methyl group의 Δδ_H 값은 0.039 ppm과 0.007 ppm으로서 측정된 proton으로부터 6개와 7개 결합으로 떨어져 존재하는 carbinol center의 absolute stereochemistry를 예측하는데 사용된다.²⁷⁾ 두 MTPA 유도체(**1r**과 **1s**)들의 H-3과 H-4의 chemical shift에서 δ_S-δ_R값은 +0.03과 +0.01 ppm으로 특징있는 차이를 보여 주었으므로, C-10번 위치의 absolute stereochemistry는 *R* configuration임을 확인하였다. 그러므로, 화합물 **1**의 3개의 carbinol center인 C-10, C-15, C-20의 absolute configuration은 모두 *R*이다.

화합물 **2**의 IR spectrum에서 3414 cm⁻¹에서 OH기와 1752 cm⁻¹에서 α , β -unsaturated γ -lactone의 carbonyl기를 확인하였다. 화합물 **2**의 FABMS에서 *m/z* 639에서 [M+H]⁺ peak를, 화합물 **2a**의 EIMS에서 *m/z* 926에서 molecular ion peak를 확인하였다(Fig. 3). 화합물 **2**의 ¹H-NMR spectrum에서 δ1.43

(H-37), 82.40(H-3b), 82.53(H-3a), 83.92(H-4), 84.99(H-36), 86.98(H-35)로 α , β -unsaturated γ -lactone과 C-4번에 OH기를 가지는 것을 알 수 있다. 화합물 2의 $^1\text{H-NMR}$ spectrum에서 83.0에서 84.0까지의 8개의 proton과 화합물 2a의 EIMS에서 4개의 TMSOH 문자가 순차적으로 빠지는 것으로 이 화합물은 4개의 OH기와 bis-THF환을 가지는 것을 확인하였다(*m/z* 926, 836, 746, 656, 566). 그리고 화합물 2의 $^1\text{H-NMR}$ spectrum에서 δ 3.58에서 하나의 multiple한 proton과 화합물 2a의 EIMS spectrum에서 *m/z* 385 peak로부터 C-10번에 OH기가 결합된 것을 확인하였다. 그리고, 화합물 2a의 EIMS로부터 나머지 OH기와 THF환의 위치를 확인한 결과 OH기는 C-4, C-15, C-24에 위치하고, THF환은 C-16과 C-23 사이에 위치하였다. C-15/C-16, C-19/C-20, C-23/C-24의 relative stereochemistry는 화합물 2의 $^1\text{H-NMR}$ spectrum에서 83.41에서 2개의 proton peak를 확인함으로써 C-15/C-16, C-19/C-20, C-23/C-24의 stereochemistry는 *threo* 구조임을 확인하였다. THF환의 relative stereochemistry는 화합물 2의 $^1\text{H-NMR}$ spectrum에서 81.98(H-17b/H-18b, H-21b/H-22b)과 81.68(H-17a/H-18a, H-21a/H-22a)에서의 대칭적인 peak를 확인함으로써 *trans* form임을 확인하였다. 이상의 결과와 문헌과의 비교에서 화합물 2는 bis-THF 환과 4개의 OH기를 가지는 compound-2²⁸임을 확인·동정하였다.

각 화합물에 대한 brine shrimp lethality test(BST)에 의한 cytotoxicity를 측정한 결과 LD₅₀치가 화합물 1은 $3.02 \times 10^{-1} \mu\text{g}/\text{ml}$ 이고 화합물 2는 $4.02 \times 10^{-2} \mu\text{g}/\text{ml}$ 로 나타났다. 이 방법에서 LD₅₀가 50 $\mu\text{g}/\text{ml}$ 이하이면 활성이 있다고 판단하며, 따라서 각 화합물은 뚜렷한 세포독성을 나타내었다.

결 론

*Annona cherimolia*의 씨앗을 95% ethanol로 추출한 후, 몇 단계의 분획과정을 거쳐 얻은 F005를 open column chromatography와 HPLC를 실시하여 화합물 1과 2를 분리하였다. 이 화합물에 대한 화학적 및 분광학적 data를 종합하여 화합물 1은 annona-ceous acetogenin으로서, 말단에 γ -lactone을 가지며 3개의 OH기와 mono-tetrahydrofuran(THF)환을 가지며, Mo-

sher ester 방법에 의해 absolute stereo-chemistry를 결정한 결과 10R, 15R, 16R, 19R, 20R인 corosolin임을 확인·동정하였고, 화합물 2는 annonaceous acetogenin으로서 말단에 γ -lactone을 가지며 4개의 OH기와 bis-THF환을 가진 compound-2임을 확인·동정하였다. 화합물 1과 2는 brine shrimp lethality test(BST)를 이용한 생리활성 실험에서 상당한 세포독성을 나타내었다. 이 화합물은 기지물질이지만 이 식물에서는 처음 분리되었다.

감사의 말씀

이 논문은 1999년 대구효성가톨릭대학교 교비해외 과학 연구지원금에 의하여 수행되었으며 이에 감사드립니다.

문 헌

- 1) Mikolajczak, K. L., McLaughlin, J. L. and Rupprecht, J. K.: Control of pests with Annonaceous acetogenins. U.S. Patent, No. 4, 855, 319 (1989).
- 2) Morre, J. D., Decabo, R. D., Farley, C., Oberlies, N. H. and McLaughlin, J. L.: Mode of action of bullatacin, a potent antitumor acetogenin: Inhibition of NADH oxidase activity of HEla and HL-60, but not liver, plasma membranes. *Life Sci.*, **56**, 343 (1995).
- 3) Fies, R. E.: "Annonaceae", in "Die Nat rlichen pflanzenfamilien", Engler, A.; Prantl, K. Eds. 2 ed. Duncker und Humboldt, Berlin, Vol. 17 (1959).
- 4) Barriga, H. G.: Flora Medicinal de Colombia. *Bot nica, Bogat*, pp. 1-30 (1974).
- 5) Leboeuf, M., Legueut, C., Cavé, A., Desconclois, J. F., Forgacs, P. and Jacquemin, H.: Alkaloids of Annonaceae. X X XI : Alkaloids of *Annona muricata*. *Plant Med.*, **42**, 37 (1981).
- 6) Rios, J. L., Cortes, D. and Valverde, S.: Acetogenins, aporphinoids, and azaanthraquinone from *Annona cherimolia* seed. *Planta Med.*, **55**, 321 (1989).
- 7) Cortes, D., Rios, J. L., Villar, A. and Valverde, S.: Cherimoline et dihydrocherimoline : deux nouvelles γ -lactones bis-tetrahydrofuranniques possédant une activité antimicrobienne. *Tetrahedron Lett.*, **25**, 3199 (1984).

- 8) Rupprecht, J. K., Hui, Y.-H. and McLaughlin, J. L. : Annonaceous acetogenins : A review. *J. Nat. Prod.*, **53**, 237 (1990).
- 9) Cortes, D., Myint, S. H., Leboeuf, M. and Cavé, A. : A new type of cytotoxic acetogenins : the tetrahydrofuranic β -hydroxy methyl γ -lactones. *Tetrahedron Lett.*, **32**, 6133 (1991).
- 10) Cortes, D., Myint, S. H. and Hocquemiller, R. : Molvizarin and motrilin : two novel cytotoxic bis-tetrahydrofuranic γ -lactone acetogenins from *Annona cherimolia*. *Tetrahedron*, **47**, 8195 (1991).
- 11) Cortes, D., Myint, S. H., Dupont, B. and Davoust, D. : Bioactive acetogenins from seeds of *Annona cherimolia*. *Phytochemistry*, **32**, 1475 (1993).
- 12) Duret, P., Gromek, D., Hocquemiller, R. and Cavé, A. : Isolation and structure of three new bis-tetrahydrofuranic acetogenins from the roots of *Annona cherimolia*. *J. Nat. Prod.*, **57**, 911 (1994).
- 13) Sahpaz, S., González, M. C., Hocquemiller, R., Zafra-Polo, M. C. and Cortes, D. : Annosenegaline and annogalene : two cytotoxic mono-tetrahydrofuran acetogenins from *Annona senegalensis* and *Annona cherimolia*. *Phytochemistry*, **42**, 103 (1996).
- 14) Woo, M. H., Kim, D. H., Fotopoulos, S. S. and McLaughlin, J. L. : Annocherin and (2,4)-*cis*- and *trans*-annocherinones : mono-THF annonaceous acetogenins with 7-carbonyl groups isolated from *Annona cherimolia*. *J. Nat. Prod.*, submitted (1999).
- 15) Meyer, B. N., Ferrigni, N. R., Putnam, J. E., Jacobson, L. B., Nichols, D. E. and McLaughlin, J. L. : Brine shrimp : a convenient general bioassay for active plant constituents. *Planta Med.*, **45**, 31 (1982).
- 16) McLaughlin, J. L. : "Methods in Plant Biochemistry", Hostettmann, K. Ed., Academic Press, London, 6, pp. 1-35 (1991).
- 17) Gu, Z. M., Fang, X. P., Zeng, L., Kozlowski, J. F. and McLaughlin, J. L. : Novel cytotoxic Annonaceous acetogenins : (2,4)-*cis*- and *trans*-bulladecinones from *Annona bullata* (Annonaceae). *Bioorg. Med. Chem.*, **4**, 473 (1994).
- 18) Dabrah, T. T. and Sneden, A. : Rollinicin and isorollinicin, cytotoxic acetogenins from *Rollinia papilionella*. *Phytochemistry*, **23**, 2013 (1984).
- 19) Fang, X.-P., Rieser, M. J., Gu, Z.-M., Zhao, G.-X. and McLaughlin, J. L. : Annonaceous acetogenins : an updated review. *Phytochem. Anal.*, **4**, 27 (1993).
- 20) Laprevote, O., Girard, C. and Das, B. C. : Formation of gas-phase lithium complexes from acetogenins and their analysis by fast atom bombardment mass spectrometry. *Tetrahedron Lett.*, **33**, 5237 (1992).
- 21) Born, L., Lieb, F., Lorentzen, J. P., Moescher, H., Nonfon, M., Sollner, R. and Wendisch, D. : The relative configuration of acetogenins isolated from *Annona squamosa* : annonin I (squamocin) and annonin IV. *Planta Med.*, **56**, 312 (1990).
- 22) Jossang, A., Dubaele, B. and Cavé, A. : Deux nouvelles acetogenines monotetrahydrofuraniques cytotoxiques : l'annonacine et la montanacine. *Tetrahedron Lett.*, **31**, 1861 (1990).
- 23) Cortes, D., Myint, S. H., Laurens, A., Hocquemiller, R., Leboeuf, M. and Cave, A. : Corosolon et corosolin, deux nouvelles γ -lactones mono-tetrahydrofuraniques cytotoxiques. *Can. J. Chem.*, **69**, 8 (1991).
- 24) Rieser, M. J., Fang, X.-P., Anderson, J. E., Miesbauer, L. R., Smith, D. L. and McLaughlin, J. L. : Muriacetrocins A and B and gigantetrocin B : three new cytotoxic monotetrahydrofuran-ring acetogenins from *Annona muricata*. *Helv. Chim. Acta*, **76**, 2433 (1993).
- 25) Rieser, M. J., Hui, Y.-H., Rupprecht, J. K., Kozlowski, J. F., Wood, K. V., McLaughlin, J. L., Hanson, P. R., Zhuang, Z.-P. and Hoye, T. R. : Determination of absolute configuration of stereogenic carbinol centers in Annonaceous acetogenins by ^1H - and ^{19}F -NMR analysis of Mosher ester derivatives. *J. Am. Chem. Soc.*, **114**, 10203 (1992).
- 26) Dale, J. A. and Mosher, H. S. : Nuclear magnetic resonance enantiomer reagents. Configurational correlations via nuclear magnetic resonance chemical shifts of diastereomeric mandelate, *O*-methylmandelate, and α -methoxy- α -trifluoromethylphenylacetate(MTPA) esters. *J. Am. Chem. Soc.*, **95**, 512 (1973).
- 27) Nishioka, S., Araya, H., Murasaki, C., Sahai, M. and Fujimoto, Y. : *Nat. Prod. Lett.*, **5**, 117 (1994).
- 28) Araya, H., Fujimoto, Y. and Hirayama, K. : Structural elucidation of tetrahydrofuranic acetogenins by means of precursor-ion scanning method. *J. Synth. Org. Chem.*, **52**, 765 (1994).